Multipurpose Utilization of Mineral Resources

安徽省金寨县迎风崖铅锌铜多金属矿床物质 组分及赋存状态研究

李磊,魏旭,阳珊,张青,遇祯,袁晓玲(安徽省地质实验研究所,安徽 合肥 230000)

摘要:通过镜下大量的光片、薄片鉴定,大量的矿物粒径、含量测量统计,主要有用矿物的单矿物提纯,X射线分析、化学多元素分析等综合研究手段,针对迎峰崖铅锌矿床开展细致的矿物学、矿相学和矿床地质学等多方面研究,重点查明本矿床的矿物组成、嵌布特征、矿石化学组成等,确定矿床中有益、有害组分及其赋存状态。

关键词:金寨县迎风崖;铅锌铜多金属矿床;物质组分;赋存状态

doi:10.3969/j.issn.1000-6532.2022.03.035

中图分类号: TD952 文献标志码: A 文章编号: 1000-6532(2022)03-0198-04

1 地质特征

矿区所处的大地构造位置在北淮阳构造带东段,地处泗河断裂与桐柏-磨子潭断裂交汇部位的东侧。受构造作用的影响,矿区内中生代岩浆活动强烈,原始地层均被大面积侵入体破坏和吞蚀,仅有少量残留体呈透镜状或不规则状零星分布,且遭受强烈的蚀变。

矿区发育有三组断层: (1) 北东向断层: 该断层派生的次一级羽状裂隙, 裂隙走向 45~85°左右, 裂隙面倾向北西, 倾角较陡, 一般在65~80°, 局部近似直立。(2) 近东西向断层: 裂隙走向75~125°, 与北东向断层呈锐角相交, 裂隙倾向北及北东, 倾角较陡, 一般在45~80°之间, 裂隙性质以张性为主, 受后期构造变动影响走向局部扭曲, 呈断续沿伸。(3) 北西向断层: 该组裂隙极不发育, 与北西向断层基本平行。裂隙走向320°左右, 多被脉岩充填。

矿区包括邻近矿区的大部分铅锌矿脉多赋存 于近东西向和北东向裂隙中,从而说明矿化与东 西向及北东向构造关系密切。

收稿日期: 2020-04-27

作者简介: 李磊(1988-), 女, 工程师。

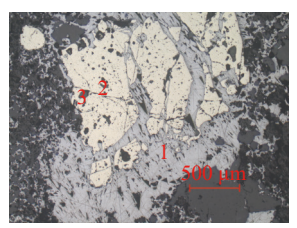
2 矿石的矿物组成

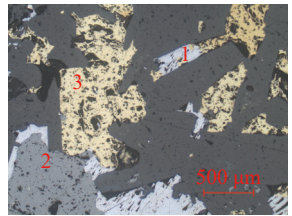
矿石的矿物组合简单,金属矿物主要有方铅矿、闪锌矿,次为黄铁矿,少量黄铜矿,微量赤铁矿、褐铁矿;脉石矿物主要有石英、绢云母,少量白云石、方解石、白云母、绿泥石、粘土矿物,微量重晶石、磷灰石、金红石等。

方铅矿 (PbS) [1-2]: 方铅矿为该矿床主要有用金属矿物之一,平均含量 2.45%。铅灰色,强金属光泽,硬度低;集合体呈脉状、斑点状、斑团状、浸染状分布于矿石中。显微镜下反射色呈纯白色,反射率较高,均质性,硬度低,三角孔构造发育(图 1a、b、c);主要呈他形粒状、不规则粒状分布在脉石矿物间(图 1a、c)。方铅矿与闪锌矿、黄铜矿、黄铁矿、赤铁矿、石英共生关系密切,常呈不规则状粒状、脉状分布在闪锌矿、黄铜矿、黄铁矿边部,有的嵌布在这些矿物的裂隙内和晶粒间(图 1a、d);粒径大于 0.3 mm 的方铅矿与其他矿物多以平直或舒缓波状界面毗连镶嵌(图 1b、c),极少量呈包裹镶嵌;粒径小于 0.2 mm 方铅矿多呈细小粒状、不规则粒状、脉状、网脉状分布于粗颗粒附近的脉石矿物晶粒

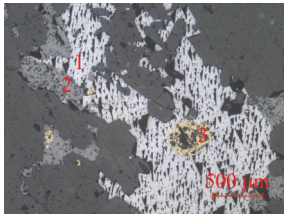
间或解理中(图 1a),小颗粒方铅矿与其他矿物间多以复杂齿状界面镶嵌,少量沿闪锌矿、黄铜矿、黄铁矿边部、内部交代分布(图 1e),部分大颗粒内包裹小颗粒闪锌矿(图 1c)、黄铁矿、石英等。经光片粒度测量统计,矿床中方铅矿粒径粗大,以大于 2 mm 粒径的粗颗粒为主,>2 mm 粒级 64.22%,>0.074 mm 粒级 95.04%(见表1)。

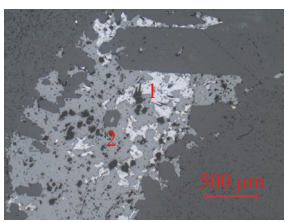
闪锌矿 (ZnS) [1-2]: 闪锌矿为该矿床主要有用金属矿物之一,平均含量 1.19%。锌黑色-绿棕色,半金属光泽,硬度中等,多呈斑点状分布于矿石中。显微镜下反射色呈灰色,均质性; 主要呈他形粒状分布于石英晶粒间,与方铅矿、黄铜矿共生关系密切,且其与粗颗粒的方铅矿、黄铜矿多以平直或舒缓波状界面毗连镶嵌,在磨矿过程中易于解离; 但大部分闪锌矿内分布少量细小乳浊状黄铜矿(图 1e),有的闪锌矿内分布有交代形成的细粒不规则状方铅矿(图 1d),这部分闪锌矿与黄铜矿、方铅矿难于解离。经光片粒度测量统计,矿石中闪锌矿粒径总体较粗,>0.074 mm粒级 91.23%(见表 1),闪锌矿在碎磨矿过程中易于解离呈单体闪锌矿。





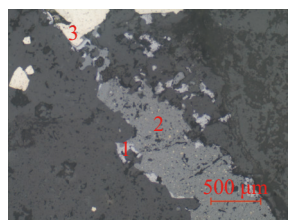
a. 1方铅矿, 2黄铁矿, 3石英 b. 1方铅矿, 2闪锌矿, 3黄铜矿

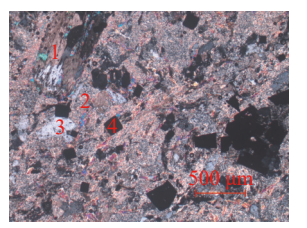




c. 1方铅矿内包裹细小石英, 2闪锌矿,3黄铜矿

d. 1方铅矿, 2闪锌矿





e.1方铅矿,2含乳浊状黄铜矿 的闪锌矿,3黄铁矿

f. 1白云母, 2绢云母, 3石英, 4黄铁矿

图 1 矿物光、薄片镜下鉴定特征 Fig.1 Identification characteristics of minerals under light and thin section microscope

表 1 方铅矿、闪锌矿粒度[3-5] 测量统计

Table 1 Particle size measurement statistics of galena and sphalerite

	方铅矿			闪锌矿	
粒级/mm	占有率/%	累计/%	粒级/mm	占有率/%	累计/%
+2	64.22	64.22	+2	19.87	19.87
-2+1.651	2.65	66.87	-2+1.651	0	19.87
-1.651+1.168	5.29	72.16	-1.651+1.168	9.73	29.6
-1.168+0.833	2.94	75.1	-1.168+0.833	11.78	41.38
-0.833+0.589	6.94	82.04	-0.833+0.589	5.96	47.34
-0.589+0.417	2.1	84.14	-0.589+0.417	11.36	58.7
-0.417+0.295	3.58	87.72	-0.417+0.295	8.74	67.44
-0.295+0.208	1.38	89.1	-0.295+0.208	7.5	74.94
-0.208+0.147	2.32	91.42	-0.208+0.147	7.05	81.99
-0.147+0.104	1.8	93.22	-0.147+0.104	4.85	86.84
-0.104+0.074	1.82	95.04	-0.104+0.074	4.39	91.23
-0.074+0.043	2.11	97.15	-0.074+0.043	4.33	95.56
-0.043+0.02	2.39	99.54	-0.043+0.02	4.04	99.6
-0.02	0.46	100.00	-0.02	0.41	100.00
合计	100.00	/	合计	100.00	/

黄铁矿 (FeS_2) [1-2]: 黄铁矿为该矿床中主要 金属硫化物,矿体、围岩中广泛分布,综合样中 平均含量为 1.49%。浅铜黄色,强金属光泽;镜下

反射色呈浅铜黄色,反射率较高,均质性;呈不等粒半自形-自形粒状分布于石英等脉石矿物间(图 1f),极少量包于方铅矿、闪锌矿内

(图 1a),与方铅矿、闪锌矿、石英等矿物间多以平直界面毗连镶嵌,极少量呈包裹镶嵌,粒径 0.01~1 mm 不等,多集中粒径 0.05~0.5 mm 间。黄铁矿在磨矿过程中易于与其他矿物解离。

黄铜矿(CuFeS₂)^[1-2]: 黄铜矿为该矿床唯一的铜矿物,综合样中平均含量为 0.14%。铜黄色,强金属光泽; 镜下反射色呈铜黄色,反射率中等,弱非均质性;呈不规则状分布于石英等脉石矿物间,与方铅矿、闪锌矿、石英共生密切,多以平直或舒缓波状界面与方铅矿、闪锌矿等毗连嵌镶(图 1b),极少量包于方铅矿、闪锌矿内(图 1c),或呈微细乳浊状分布于闪锌矿内(图 1e);粒径 0.002~2 mm 不等。

石英(SiO₂)^[6]: 石英为矿床中主要脉石矿物。按形成先后将石英分早、中、晚三期,早期石英由绢英岩化作用形成,呈他形粒状镶嵌或散布于绢云母中(图 1f),粒径较细;晚期石英由硅化作用形成,呈他形-半自形板柱状镶嵌,有的包于方铅矿、闪锌矿内(图 1c),石英粒级粗细不等,粗颗粒多具粒波状消光,该期石英与成矿作用关系密切;晚期石英呈细脉状,多与白云石、方解石共生。

3 矿石化学成分分析

3.1 矿石多元素分析结果

原矿多元素化学化学分析结果见表 2, 其中Pb 2.09%、Zn 0.81%。根据多元素化学分析结果,比对《矿产资源工业要求手册》^[7]中铅锌矿床地质勘查工业指标(行业标准 DZ/T 0214-2002),及铅锌矿床伴生有益组分评价指标(国家标准GB/T 25283-2010),铅锌硫化矿石的边界品位是:Pb 0.3%~0.5%、Zn 0.5%~1%,最低工业品

位是 Pb $0.7\%\sim1\%$ 、 Zn $1\%\sim2\%$ 。 该矿床 Pb 2.09%、 Zn 0.81%,说明 Pb 含量已超过工业品位指标, Zn 已超过边界品位指标。此外矿石中 Ag 28.7~g/t,已达铅锌矿床伴生有益组分指标。

表 2 原矿多元素化学分析/%

Tal	ble 2 N	Aulti elem	ent chemi	ical analy	ysis of rav	v ore
Pb	Zn	Cu	Au*	Ag*	SiO_2	Al_2O_3
2.09	0.81	0.057	0.095	28.7	71.14	5.64

*单位为: g/t。

3.2 矿石中铅、锌的化学物相[8] 分析结果

根据化学物相分析结果,原矿石中铅、锌主要呈硫化物的形式存在。硫化铅(方铅矿)占Pb元素总量的96.94%,硫化锌占Zn元素总量的97.55%(表3、4);光片显微镜下观察含Pb、Zn的矿物也仅见硫化物方铅矿、闪锌矿,未见明显的铅、锌氧化矿物或其他铅、锌化合物。

表 3 原矿铅物相分析

Table 3 Lead phase analysis of the raw ore

矿物 名称	铅矾 中Pb		方铅 矿中Pb	磷 (砷矾) 氯铅矿	其他形态难 溶铅矿中Pb	合计
含量/%	0.0078	0.04	2.03	0.0097	0.0066	2.0941
分布率/%	0.37	1.91	96.94	0.46	0.32	100.00

表 4 原矿锌物相分析

Table 4 Phase analysis of the raw zinc

矿物名称	锌氧化 物总量	硫酸锌	硫化锌	其他形态 锌矿物	合计
含量/%	0.015	0.0004	0.77	0.0039	0.7893
分布率/%	1.90	0.05	97.55	0.5	100.00

3.3 方铅矿、闪锌矿单矿物化学分析结果

单矿物化学分析结果(见表 5)显示,方铅矿中含 Ag 271.1 g/t, 另含微量 Bi、Sb、Se、Tl、Te 等组分。闪锌矿中含 Ag 60.02 g/t、Cd 2716 g/t,另含微量的 Te、Tl、Mn、Ga、Ge 等元素。

表 5 方铅矿、闪锌矿单矿物化学分析结果/%

Table 5 Chemical analysis results of galena and sphalerite

元素	Au*	Ag*	Se*	Te*	Bi*	Cd*	Sb*	Ga*	Tl*	In*	Ge*	S	Pb	Zn	Fe	Mn
方铅矿	<1	271.05	0.02	-	6.13	-	12.2	-	0.159	0.31	-	12.65	85.16	-	0.35	-
闪锌矿	<1	60.02	-	17.62	-	2716	-	0.054	0.044	-	0.76	30.05	-	59.51	2.69	0.088

^{*}单位为: g/t。

4 有益有害组分赋存状态

4.1 有益组分的赋存状态

根据矿石多元素分析结果,矿石中已达工业品位的主要有益组分为 Pb、Zn,达综合利用的伴生组分为 Ag(见表1),因此该矿床中有益元素

为 Pb、Zn、Ag。再由矿石矿物组成分析判断,矿石中含 Pb 的矿物仅为方铅矿,含 Zn 的矿物仅为闪锌矿,所以 Pb 元素以硫化物方铅矿的形式存在于矿石中; Zn 元素以硫化物闪锌矿的形式存在于矿石中; S 主要存在于黄铁矿中,部分存在于方铅

矿、闪锌矿、黄铜矿中。光片显微镜下鉴定未见独立的银矿物,方铅矿中单矿物分析结果(表5)发现含 Ag 271.05 g/kg、Bi 6.13 g/t、Sb 12.2 g/t,由此推断 Ag 主要以超显微银矿物—自然银、辉银矿、硫银铋矿、辉锑银矿等形式赋存在方铅矿中。

4.2 有害组分的赋存状态

相关行业标准中未注明铅锌矿体原矿石的有害组分,行业标准 YS/T319-2007 列出了铅精矿、锌精矿的杂质为 SiO₂、MgO、Al₂O₃、CaO、Cu、Fe、S、As 等组分。SiO₂ 在原矿石中以石英及绢云母、白云母、粘土矿物、绿泥石等矿物形式存在; MgO、Al₂O₃ 主要以绢云母、白云母、粘土矿物、绿泥石等矿物形式存在; 另一部分 MgO 与CaO 以碳酸盐矿物形式出现在矿石中; Cu 以黄铜矿存在矿石中,当其达到一定品位时则为有用组分; Fe、S、As则主要存在黄铁矿中。这些矿物经选矿后,进入铅精矿、锌精矿的含量容易降低到行业标准允许范围以下。经选矿后得到的铅精矿、锌精矿产品经化学多元素分析发现,铅精矿、锌精矿产品经化学多元素分析发现,铅精矿、锌精矿中的杂质(有害组分)含量都已降到行业标准(YS/T 319-2007)以下(表 6)。

表 6 精矿产品化学多元素分析
Table 6 Chemical multi element analysis of concentrate products

			P -					
名称	Pb	Zn	Cu	Au^*	Ag^*	S	Al_2O_3	SiO_2
铅精矿	67.62	0.54	1.63	0.6	856	14.30	0.034	-
锌精矿	0.32	55.20	0.21	0.81	26.9	28.60	-	7.68

^{*}单位为: g/t。

5 结 论

- (1)查明了本矿床矿石的矿物组成,金属矿物主要有方铅矿、闪锌矿,次为黄铁矿,少量黄铜矿,微量赤铁矿、褐铁矿;脉石矿物主要有石英,次为云母,少量白云石、方解石、绿泥石、粘土矿物,微量重晶石、磷灰石、金红石等。
- (2)查明了本矿床主要有益组分铅、锌、银、硫的赋存状态:矿石中已达工业品位的主要有益组分为 Pb、Zn,达综合利用的伴生组分为 Ag, Pb 主要以方铅矿形式存在; Zn 主要以闪锌矿的形式存在; S 主要以黄铁矿的形式存在; Ag 主要以超显微银矿物—自然银、辉银矿、硫银铋矿、辉锑银矿等形式赋存在方铅矿中。
 - (3) 铅精矿、锌精矿中的有害组分为 SiO₂、

MgO、 Al_2O_3 、CaO 、Cu、Fe、S、As 等, SiO_2 在原矿石中以石英及绢云母、白云母、粘土矿物、绿泥石等矿物形式存在;MgO、 Al_2O_3 主要以绢云母、白云母、粘土矿物、绿泥石等矿物形式存在;另一部分MgO与CaO以碳酸盐矿物形式出现在矿石中;Cu以黄铜矿存在矿石中,当其达到一定品位时则为有用组分;Fe、S、As则主要存在黄铁矿中。经选矿后,容易降低到行业标准允许范围以下。

参考文献:

[1] 矿产资源工业要求手册编委会. 矿产资源工业要求手册 [M]. 北京: 地质出版社, 2012.

Editorial Board of Mineral Resources Industry Requirement Manual. Mineral resources industry requirement manual [M]. Beijing: Geological Publishing House, 2012.

[2] 陈攀, 熊馨, 应永鹏, 等.工艺矿物学研究在青海某铅锌矿应用 [J]. 矿产综合利用. 2019(1): 98-102.

CHEN P, XIONG X, YING Y P, et al. Application of process mineralogy research in a lead-zinc mine in Qinghai Province [J]. Multipurpose Utilization of Mineral Resources. 2019(1): 98-102.

[3] 卢静文, 彭晓雷. 金属矿物显微镜鉴定手册 [M]. 北京: 地质出版社, 2010.

LU J W, PENG X L. Handbook of microscopic identification of metallic minerals [M]. Beijing: Geological Publishing House, 2010.

[4] 蒋琳, 李阿俊.内蒙古某含银铅锌矿工艺矿物学 [J]. 矿产综合利用, 2019(1): 94-97.

JIANG L, LI A J. Process mineralogy of a silver-bearing leadzinc ore in Inner Mongolia [J]. Multipurpose Utilization of Mineral Resources, 2019(1): 94-97.

[5] 王濮, 潘兆橹, 翁玲宝. 系统矿物学 [M]. 北京: 地质出版 社, 1987.

WANG P, PAN Z L, WENG L B. Systematic mineralogy [M]. Beijing: Geological Publishing House, 1987.

[6] 常丽华, 陈曼云, 等. 透明矿物薄片鉴定手册 [M]. 北京: 地质出版社, 2006.

CHANG L H, CHEN M Y, et al. Handbook for the identification of transparent mineral flakes [M]. Beijing: Geological Publishing House, 2006.

[7] 惠博, 王越, 陈伟, 等. 贵州某铅锌矿工艺矿物学研究[J]. 矿产综合利用, 2019(10):103-106.

HUI B, WANG Y, CHEN W, et al. Study on process mineralogy of a lead-zinc ore in Guizhou[J]. Multipurpose Utilization of Mineral Resources, 2019(10):103-106.

[8] 邱柱国. 矿相学 [M]. 北京: 地质出版社, 1982.

QIU Z G. Mineralogy [M]. Beijing: Geological Publishing House. 1982.

(下转第 206 页)